

**جوشکاری همزن اصطکاکی فولاد زنگ نزن فریتی ۴۳۰\***سجاد امامی<sup>(۱)</sup> توحید سعید<sup>(۲)</sup> رسول آذری خسروشاهی<sup>(۳)</sup>**چکیده**

جوش بدون درزی بر روی ورق ۲ میلیمتری فولاد زنگ نزن فریتی ۴۳۰ با فرایند جوشکاری همزن اصطکاکی با سرعت چرخشی ۴۰۰ دور بر دقیقه و سرعت پیشروی ۵۰ میلیمتر بر دقیقه ایجاد گردید. مشاهدات ریزساختاری نشان داد که در ناحیه ریزساختاری متأثر از عملیات ترمومکانیکی جوش در اثر وقوع مکانیزم بازیابی دینامیکی کسر بزرگی از مرز دانه های کوچک زاویه تشکیل شده است. از طرف دیگر در ناحیه همزده جوش در اثر وقوع تبلور مجدد دینامیکی دانه های بسیار ریز به همراه کسر بزرگی از مرز دانه های بزرگ زاویه ایجاد شده است. همچنین، تصویر قطبی محاسبه شده نشان داد که بافت برشی در ناحیه همزده توسعه یافته است.

**واژه های کلیدی** جوشکاری همزن اصطکاکی، فولاد زنگ نزن فریتی، بازیابی دینامیکی، تبلور مجدد دینامیکی، بافت برشی.

**Friction Stir Welding of 430 Ferritic Stainless Steel**

S. Emami

T. Saeid

R. Azari khosroshahi

**Abstract**

Friction stir welding was conducted on a 430 austenitic stainless steel plate with thickness of 2 mm. The welding procedure was performed at a welding speed of 50 mm/min and rotational speed of 400 rpm. Microstructure observations showed high fraction of low angle grain boundaries formed in the thermo mechanically affected zone through the occurrence of dynamic recovery. Severe grain refinement took place in the stir zone with the formation of high fraction of high angle grain boundaries through dynamic recrystallization. Calculated pole figure showed that shear texture developed in the stir zone.

**Key words** Friction stir welding, Ferritic stainless steel, Dynamic recovery, Dynamic recrystallization, Shear texture.

\* نسخه نخست مقاله در تاریخ ۹۶/۴/۸ و نسخه پایانی آن در تاریخ ۹۶/۶/۲۷ به دفتر نشریه رسیده است.

(۱) دانشجوی دکتری، دانشگاه صنعتی سهند تبریز

(۲) نویسنده مسئول، دانشیار، دانشگاه صنعتی سهند تبریز

(۳) استاد، دانشگاه صنعتی سهند تبریز

Email: tohid\_saeid@yahoo.com

## مقدمه

فولادهای زنگ نزن فریتی دسته‌ای از آلیاژهای مهندسی هستند که امروزه به خاطر خواص مکانیکی عالی و همچنین مقاومت بالا در برابر خوردگی به طور گسترده در صنایع مختلفی همچون خودروسازی مورد استفاده قرار می‌گیرند [7-1]. از این رو نیاز گسترده‌ای برای جوشکاری چنین آلیاژهایی در صنعت وجود دارد. اما متأسفانه به کارگیری روش‌های مرسوم ذوبی با ذوب و انجماد مجدد ریزساختار اولیه فلز را از بین برده و باعث شکل‌گیری ریزساختاری جدید به همراه عیوبی احتمالی مانند تشکیل دندریت‌های درشت، حساس شدن، تشکیل مارتزیت و رشد دانه می‌شود [4,8,9]. لذا فرایند جوشکاری همزن اصطکاکی (FSW) با داشتن ویژگی‌های منحصر به فردی مانند حرارت ورودی پایین به نظر جایگزین مناسبی با روش‌های متداول ذوبی می‌باشد. در این روش نیز مانند سایر روشهای تغییر شکل داغ، ریزساختار و بافت اولیه فلز به موجب تغییر شکل و یا رخداد مکانیزم‌های نرم شدن مانند بازیابی دینامیکی، تبلور مجدد دینامیکی دچار تغییر می‌شود [10,11]. در این راستا، چو (Cho) و همکارانش [5,12] نشان دادند که ریزساختار بسیار ظریفی در اثر تغییر شکل برشی شدید و وقوع تبلور مجدد دینامیکی در ناحیه همزده فولاد زنگ‌نزن فریتی ۴۰۹ شکل می‌گیرد.

با وجود اینکه در اندک کارهای صورت گرفته اطلاعات ارزشمندی در زمینه تحولات ریزساختاری فولادهای زنگ-نزن فریتی در حین جوشکاری همزن اصطکاکی ارایه شده است، مطالعه حاضر سعی در تایید یافته‌های موجود و همچنین ارایه اطلاعات بیشتری در این زمینه با استفاده از آنالیز پراش الکترون‌های برگشتی (EBSD) می‌باشد.

## روند آزمایشات

فولاد زنگ‌نزن دوفازی ۴۳۰ AISI به صورت ورق با ضخامت ۲ میلی‌متر در این تحقیق مورد استفاده قرار گرفت.

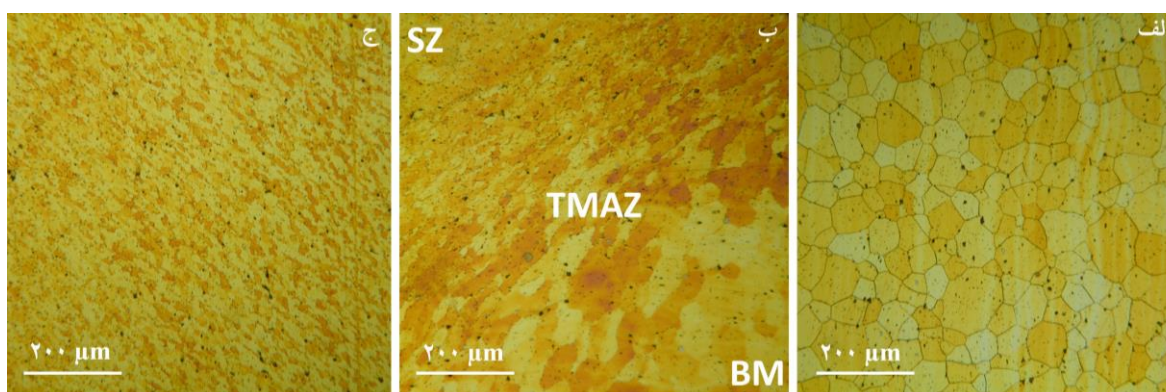
نمونه‌ها در ابعاد  $100 \times 100$  میلی‌متر برای جوشکاری آماده شدند. فرایند جوشکاری در جهت نورد نمونه با سرعت جوشکاری ۵۰ میلی‌متر بر دقیقه و سرعت چرخشی ۴۰۰ دور بر دقیقه به صورت بدون درز اعمال گردید. یک ابزار پایه کاربید تنگستن با شانه ۱۶ میلی‌متر و پین مخروطی با قطر ریشه ۴/۵ میلی‌متر و قطر نوک ۳/۵ میلی‌متر با ارتفاع ۱/۷ میلی‌متر به کار گرفته شد. ابزار زاویه ۳ درجه با جهت نرمال صفحه تحت جوشکاری دارد. در حین جوشکاری عمق فروروی ابزار به داخل نمونه ثابت و برابر با ۱/۸ میلی‌متر در نظر گرفته شد. مشاهدات ریزساختاری عمدتاً با میکروسکوپ الکترون روبشی مجهز به پراش الکترون‌های برگشتی در سطح مقطع عمود بر جهت جوشکاری (صفحه WD) انجام گردید. نمونه‌ها برای مشاهدات نوری بعد از سنباده‌زنی و پولیش با محلول حاوی ۵۶ گرم NaOH رقیق شده با آب مقطر تا ۱۰۰ میلی‌لیتر به مدت ۳۰ ثانیه با ولتاژ ۳ ولت حکاکی الکترولیتی شدند. برای انجام آنالیز پراش الکترون‌های برگشتی ابتدا به صورت مکانیکی با خمیر الماسه ۱ و ۰/۲۵ میکرونی پولیش شدند و در نهایت با محلول ۷۰۰ میلی‌لیتر اتانول، ۱۲۰ میلی‌لیتر آب مقطر، ۱۰۰ میلی‌لیتر گلیسرول و ۸۰ میلی‌لیتر پرکلریک اسید در دمای اتاق با ولتاژ ۳۵ ولت به مدت ۳۵ ثانیه به صورت الکترولیتی پولیش شدند.

## نتایج

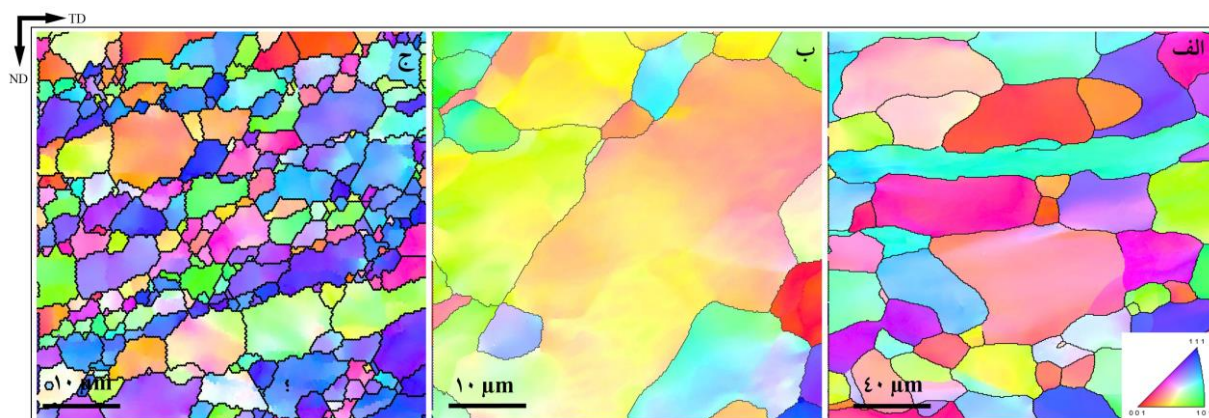
شکل (۱) نواحی مختلف ریزساختاری در سمت پیشرونده را نشان می‌دهد. با توجه به شکل دیده می‌شود که ریزساختار فلز پایه در اثر تغییر شکل پلاستیک شدیدی که توسط ابزار به ماده وارد می‌شود در هم شکسته می‌شود و سه ناحیه ریزساختاری متمایز همزده (SZ)، ناحیه متأثر از عملیات ترمومکانیکی (TMAZ) و فلز پایه (BM) در ناحیه اتصال شکل می‌گیرد. در ناحیه متأثر از عملیات ترمومکانیکی دانه‌های درشت و هم‌محور فلز پایه در امتداد کرنش اعمالی کشیده می‌شوند. کشیدگی دانه‌ها از مشخصه-

های بارز ناحیه متأثر از عملیات ترمومکانیکی می باشد که به علت ناکافی بودن کرنش اعمالی دانه ها عمدتاً تغییر شکل می یابند ولی آثاری از تبلور مجدد نشان نمی دهند. همچنین دیده می شود که ریزساختار هم محور بسیار ظریفی در ناحیه همزده در اثر وقوع تبلور مجدد شکل یافته است. وجود چنین ریزساختار ظریف در ناحیه همزده و ساختار دانه ای کشیده فلز پایه در ناحیه متأثر از عملیات ترمومکانیکی سبب شکل گیری مرز مشخصی بین آنها شده است. رفتار مشابهی در جوشکاری همزن اصطکاکی آهن خالص [13]، فولادهای زنگ نزن دوفازی [14-17]، فولادهای زنگ نزن آستنیتی [18,19] و فریتی [5,12] نیز گزارش شده است. شکل (۲) داده های آنالیز پراش الکترون های برگشتی بدست آمده برای فلز پایه و ناحیه متأثر از عملیات ترمومکانیکی از

سطح مقطع عمود بر جهت نورد (WD-ND) را نشان می دهد. مطابق با این شکل فریت در فلز پایه از دانه های هم محور با اندازه تقریباً ۵۶ میکرون تشکیل یافته است. هر دانه بر اساس جهت گیری کریستالی است که نسبت به جهت نورد (RD) دارد. همچنین با توجه به این شکل دیده می شود که ساختار لایه ای با دانه های کشیده ناحیه متأثر از عملیات ترمومکانیکی جای خود را به ریزساختاری هم محور ریز در ناحیه همزده می دهد. افزایش کرنش از ناحیه متأثر از عملیات ترمومکانیکی به سمت ناحیه همزده و دمای بالا در این ناحیه باعث شکل گیری دانه های تبلور مجدد ریز هم محور در این ناحیه می شود. شکل گیری چنین رفتاری در توافق کلی با یافته های محققان پیشین می باشد [12,19].



شکل ۱ تصاویر ریزساختاری بدست آمده از میکروسکوپ نوری (الف) فلز پایه، (ب) ناحیه متأثر از عملیات ترمومکانیکی و (ج) ناحیه همزده

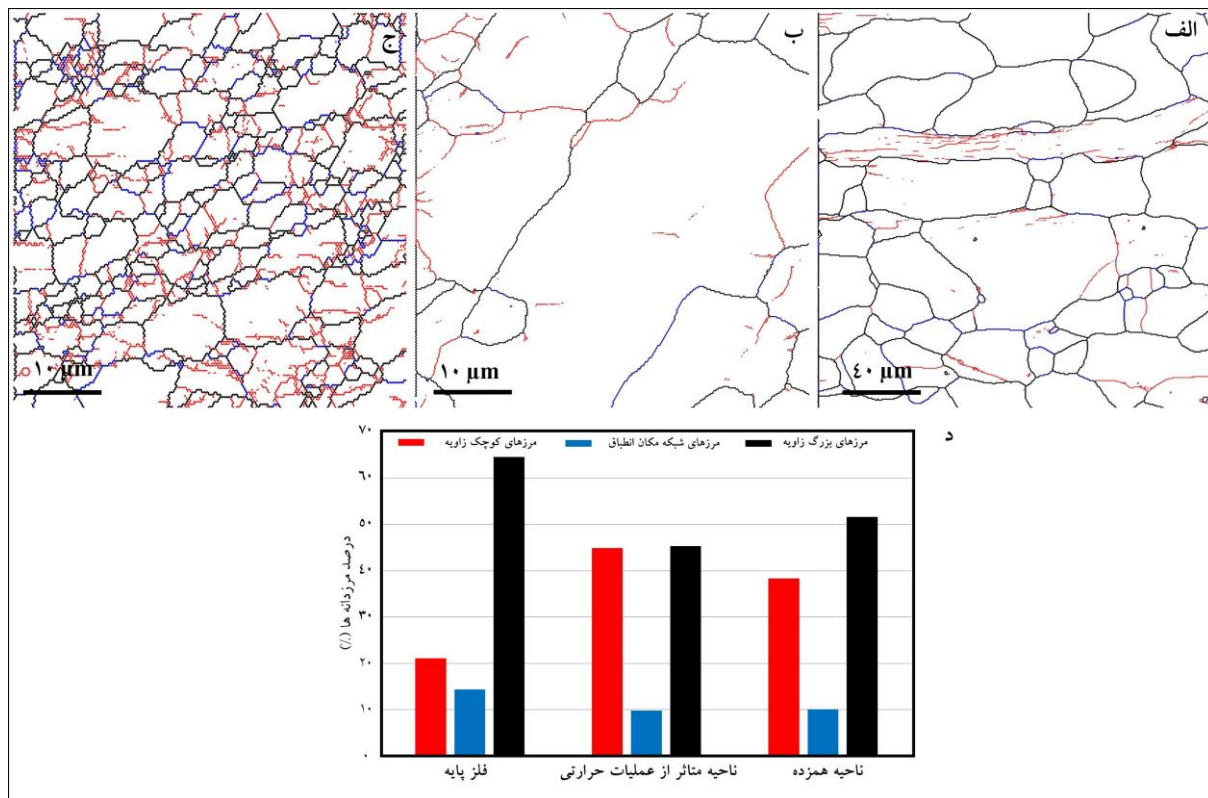


شکل ۲ نقشه های جهت گیری (الف) فلز پایه (ب) ناحیه متأثر از عملیات ترمومکانیکی (ج) ناحیه همزده

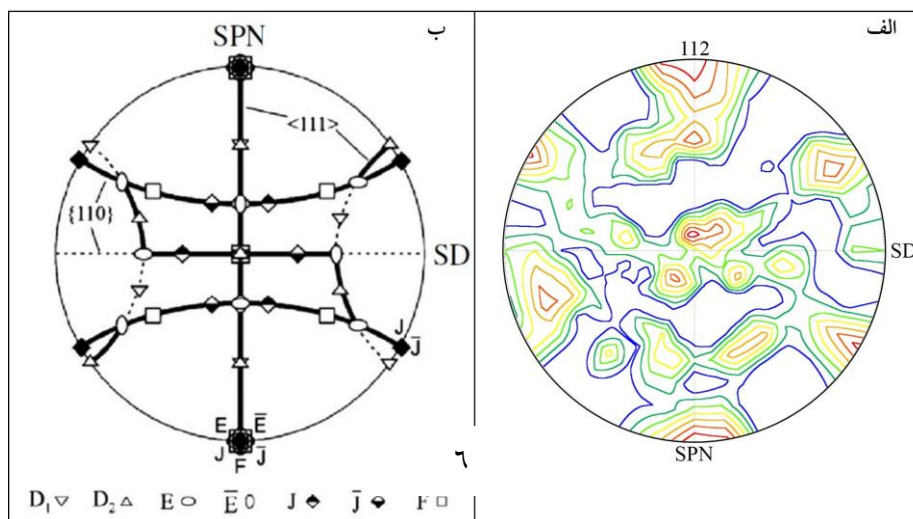
ترتیب افزایش و کاهش یافته‌اند. این رفتار به طور ضمنی نشان می‌دهد که مرزخانه‌های بزرگ زاویه بواسطه مصرف مرزخانه‌های کوچک زاویه شکل یافته‌اند. در فرآیند جوشکاری همزن اصطکاکی، ابزار جوشکاری تغییرشکل شدیدی را بر ماده اعمال می‌کند. این تغییرشکل سبب چرخش شبکه بلوری و تغییر بافت اولیه ماده اولیه می‌شود. در این راستا شکل‌های قطبی ابزار مناسبی برای نمایش دادن و مطالعه بافت ماده به شمار می‌آیند [10]. شکل (۴) تصاویر قطبی مربوط به صفحات {۱۱۲} را در ناحیه ریزساختاری همزده بعد از اعمال چرخش‌های مناسب جهت انطباق با سیستم برشی را نشان می‌دهد. از این شکل می‌توان دریافت که بافت ایجاد شده در ناحیه همزده، مشابه با بافت فلزات bcc در آزمون پیچش، نتیجه تغییرشکل برشی ساده بوده که عمدتاً چرخش پین آن را به وجود آورده است. از آنجا که توسعه اجزای بافت تغییرشکلی به عنوان نشانه‌ای از فعال شدن سیستم‌های لغزشی در حین تغییرشکل تلقی می‌شود، مشاهدات فوق نتیجه می‌دهد که در ناحیه همزده، سیستم لغزشی فعال شده شامل صفحات و یا جهات {۱۱۲} می‌باشد. با توجه به قسمت ب شکل ۴ مشخص می‌شود که اجزای بافت برشی ساده در فلزات bcc در داخل رشته‌های ناقص  $\langle 111 \rangle$  و  $\langle hkl \rangle$  و  $\langle uvw \rangle$  قرار دارد. بنابراین، سیستم‌های لغزشی فعال شده می‌تواند یکی از سیستم‌های  $\langle 111 \rangle$  و یا  $\langle 112 \rangle$  باشد [۱۱، ۱۰]. بافت برشی در نواحی همزده فولاد زنگ‌نزن آستنیتی ۳۰۴L [22]، آهن خاص [13]، فولاد زنگ‌نزن دوفازی ۲۲۰۵ [14] و فولاد زنگ‌نزن فریتی ۴۰۹ [5, 12] گزارش شده است. برای مطالعه بافت برشی، سیستم مختصات را از سیستم مختصات جوشکاری (ND-TD-WD) به سیستم مختصات برشی (SPN-SD) باید تغییر داد. به دلیل شکل هندسی ابزار ناحیه همزده دارای شکل مخروط ناقص است. سطح جانبی این مخروط به عنوان صفحه برشی و جهت برش مماس بر سطح جانبی و در جهت چرخش می‌باشد. لذا جهت برش

نقشه‌های مرزخانه‌ای و همچنین نحوه توزیع کسر نوع مرزخانه‌ها (GBCD) در فلز پایه، ناحیه متأثر از عملیات حرارتی و ناحیه همزده در شکل (۳) نشان می‌دهند که اکثر مرزخانه‌ها در فلز پایه تقریباً ۶۵٪ مرزخانه‌های بزرگ زاویه و ۱۴٪ مرزهای شبکه مکان انطباق هستند. وجود مقادیر قابل توجهی از مرزخانه‌های کوچک زاویه (حدود ۲۱ درصد) به همراه کسر بزرگی از مرزخانه‌های بزرگ زاویه نشان می‌دهند که فلز پایه در حین فرآوری احتمالاً دچار تبلور مجدد شده است [20]. مطابق با این شکل، در ناحیه متأثر از عملیات ترمومکانیکی میزان مرزخانه‌های بزرگ زاویه به ۴۵٪ کاهش یافته و کسر بزرگتری از مرزخانه‌های کوچک زاویه (تقریباً ۴۵٪) در ناحیه متأثر از عملیات ترمومکانیکی شکل گرفته است که با رنگ قرمز مشخص شده‌اند. شکل‌گیری کسر بالایی از چنین مرزخانه‌های فرعی کوچک زاویه به صورت ناگهانی به احتمال زیاد مربوط به وقوع فرآیند بازیابی دینامیکی می‌باشد. چنین رفتاری در ناحیه متأثر از عملیات ترمومکانیکی آهن خالص [13]، فولاد زنگ‌نزن دوفازی ۲۲۰۵ [14] و فولاد زنگ‌نزن آستنیتی ۳۰۴ [19] نیز گزارش شده است. ساختارهای فرعی (مرزخانه‌های کوچک زاویه) با شروع اعمال کرنش با برهمکنش نابجاییهای ایجاد شده در دمای بالای جوشکاری شکل می‌گیرند و نابجاییهای غیرهم علامت تولید شده در حین تغییر شکل همدیگر را حذف کرده و نابجاییهای هم علامت خود را دیواره از مرزهای فرعی با انرژی کم قرار می‌دهند [11, 21]. همچنین، فراوانی مرزهای بزرگ زاویه و مرزهای شبکه مکان انطباق با ورود به ناحیه متأثر از عملیات ترمومکانیکی کاهش می‌یابند. در رابطه با توجیه این رفتار می‌توان گفت که ابزار در حال چرخش باعث درهم شکسته شدن ساختار فلز پایه در ناحیه متأثر از عملیات ترمومکانیکی شده است. همچنین داده‌های آماری مرزخانه‌ها در شکل (۳) نشان می‌دهد که فراوانی مرزخانه‌های بزرگ زاویه و کوچک زاویه در ناحیه همزده نسب به ناحیه متأثر از عملیات ترمومکانیکی به

در مرز بین ناحیه متأثر از عملیات ترمومکانیکی و ناحیه همزده هر دو سمت ناحیه جوش در جهت جوشکاری قرار می‌گیرد و در مرکز ناحیه همزده در راستای TD قرار می‌گیرد [13,14].



شکل ۳ نقشه‌های مرزخانه‌ای: الف) فلز پایه، ب) متأثر از عملیات ترمومکانیکی، ج) همزده و د) نحوه توزیع کسر نوع مرزخانه‌ها (GBCD)



شکل ۴ الف) تصویر قطبی صفحات ۱۱۲ در مرکز ناحیه همزده ب) تصویر قطبی صفحات ۱۱۰ که جهت‌گیریهایی ایده‌آل در بافت برشی ساده برای فلزات bcc را نشان می‌دهد

## نتیجه گیری

دانه‌های هم‌محور ریزی در اثر وقوع تبلور مجدد دینامیکی در این ناحیه توسعه یافتند. تصویر قطبی نشان داد که نوعی بافت برشی ساده در مرکز ناحیه ریزساختاری همزده در اثر تغییر شکل اعمال شده توسط ابزار ایجاد شده است.

ریزساختار ناحیه جوش فولاد زنگ‌نزن آستنیتی در فرآیند جوشکاری همزن اصطکاکی مطالعه گردید. کسر بزرگی از مرزانه‌های کوچک زاویه در اثر وقوع بازیابی دینامیکی در ناحیه متأثر از عملیات ترمومکانیکی شکل گرفت. اصلاح ریزساختاری شدیدی در ناحیه همزده صورت گرفت و

## مراجع

1. Lewis D.B., Pickering F.B., "Development of recrystallization textures in ferritic stainless steels and their relationship to formability", *Metals Technology*, Vol. 10, pp. 264-273, (1983).
2. Siqueira R.P., Sandima H.R.Z., Oliveira T.R., Raabe D., "Composition and orientation effects on the final recrystallization texture of coarse-grained Nb-containing AISI 430 ferritic stainless steels", *Materials Science and Engineering A*, Vol. 528, pp. 3513-3519, (2011).
3. Yan H., Bib H., Li X., Xu Z., "Microstructure and texture of Nb+Ti stabilized ferritic stainless steel", *Materials Characterization*, Vol. 59, pp. 1741-1746, (2008).
4. Park S.H.C., Kumagai T., Sato Y.S., Kokawa H., Okamoto K., Hirano S., Inagaki M., "Microstructure and mechanical properties of friction stir welded 430 stainless steel", *International Society of Offshore and Polar Engineers*, Korea, (2005).
5. Cho H.H., Hana H.N., Hong S.T., Park J.H., Kwon Y.J., Kim S.H., Steel R.J., "Microstructural analysis of friction stir welded ferritic stainless steel", *Materials Science and Engineering A*, Vol. 528 pp. 2889-2894, (2011).
6. Mohandas T., Reddy G.M., Navee M., "A comparative evaluation of gas tungsten and shielded metal arc welds of a ferritic stainless steel", *Journal of Materials Processing Technology*, Vol. 94, pp. 133-140, (1999).
7. Yana H., Bi H., Li X., Xu Z., "Effect of two-step cold rolling and annealing on texture, grain boundary character distribution and r-value of Nb+Ti stabilized ferritic stainless steel", *Materials Characterization*, Vol. 60, pp. 65-68, (2009).
8. Kou S., "Welding metallurgy second edition", Springer, New Jersey, pp. 446-450, (2003).
9. Bilgin M.B., Meran C., "The effect of tool rotational and traverse speed on friction stir weldability of AISI 430 ferritic stainless steels", *Materials and Design*, Vol. 33, pp. 376-383, (2012).
10. Suwas S., Ray R.K., "Crystallographic texture of materials", Springer, London, pp. 95-137, (2014).
11. Humphreys F.J., Hatherly M., "Recrystallization and related annealing phenomena", Springer, Oxford, pp. 67-86, (2004).
12. Cho H.H., Hong S.T., Roh J.H., Choi H.S., Kang S.H., Steel R.J., Han H.N., "Three-dimensional numerical

- and experimental investigation on friction stir welding processes of ferritic stainless steel”, *Acta Materialia*, Vol. 61, pp. 2649-2661, (2013).
13. Mironov S., Sato Y.S., Kokawa H., “Microstructural evolution during friction stir-processing of pure iron”, *Acta Materialia*, Vol. 56, pp. 2602-2614, (2008).
  14. Saeid T., Abdollah-zadeh A., Shibayanagi T., Ikeuchi K., Assadi H., “On the formation of grain structure during friction stir welding of duplex stainless steel”, *Materials Science and Engineering A*, Vol. 527, pp. 6484-6488, (2010).
  15. Sato Y.S., Nelson T.W., Sterling C.J., Steel R.J., Pettersson C.O., “Microstructure and mechanical properties of friction stir welded SAF 2507 super duplex stainless steel”, *Materials Science and Engineering A*, Vol. 397, pp. 376-384, (2005).
  16. Santos T.F.A., Torres E.A., Lippold J.C., Ramirez A.J., “Detailed Microstructural Characterization and Restoration Mechanisms of Duplex and Superduplex Stainless Steel Friction-Stir-Welded Joints”, *Journal of Materials Engineering and Performance*, (2016).
  17. Santos T.F.A., López E.A.T., Fonseca E.B., Ramirez A.J., “Friction stir welding of duplex and superduplex stainless steels and some aspects of microstructural characterization and mechanical performance”, *Materials Research*, Vol. 19, Issue 1, pp. 117-131, (2016).
  18. Rezaei-Nejad S., Abdollah-zadeh A., Hajian M., Kargar F., Seraj R., “Formation of Nanostructure in AISI 316L Austenitic Stainless Steel by Friction Stir Processing”, *Procedia Materials Science*, Vol. 11, pp. 397-402, (2015).
  19. Liu F.C., Nelson T.W., “In-situ grain structure and texture evolution during friction stir welding of austenite stainless steel”, *Materials & Design*, Vol. 115, pp. 467-478, (2017).
  20. Mirzadeh H., Cabrera J.M., Najafizadeh A., Calvillo P.R., “EBSD study of a hot deformed austenitic stainless steel”, *Materials Science and Engineering A*, Vol. 538, pp. 236-245, (2012).
  21. Jorge-Badiola D., Iza-Mendia A., Gutierrez I., “Study by EBSD of the development of the substructure in a hot deformed 304 stainless steel”, *Materials Science and Engineering A*, Vol. 394, pp. 445-454, (2005).
  22. Sato Y.S., Nelson T.W., Sterling C.J., “Recrystallization in type 304L stainless steel during friction stirring”, *Acta Materialia*, Vol. 53, pp. 637-645, (2005).

